

УДК 537.312

ФАЗОВЫЕ ПЕРЕХОДЫ В СВЕРХПРОВОДЯЩИХ СИСТЕМАХ С d -СПАРИВАНИЕМ

Ю. М. Иванченко, А. А. Лисянский, А. Э. Филиппов

Исследовано критическое поведение орторомбических высокотемпературных сверхпроводников. Методами ренормгруппового (РГ) анализа и с помощью точно решаемой модели показано, что при малом параметре квадратичной орторомбической анизотропии переход в низкотемпературную фазу является флуктуационно-индуцированным фазовым переходом первого рода. При большой анизотропии этот переход сменяется одним или двумя непрерывными переходами. Конкретный сценарий этой смены определяется соотношением параметров функционала Гинзбурга—Ландау.

В связи с недавним открытием высокотемпературных сверхпроводников [1, 2], имеющих при температурах сверхпроводящего перехода слабые орторомбические искажения кристаллической решетки (отношение разности постоянных решеток в базисной плоскости $(b-a)/b \approx 0.02$ [3, 4]), существенно возрос интерес к исследованию характера фазовых превращений в таких системах. В особенности этот интерес стимулировался экспериментальным обнаружением в сверхпроводящих керамиках тонкой структуры сверхпроводящего перехода [5, 6]. Кроме того, указанные системы привлекли внимание также тем, что, согласно оценкам параметра Гинзбурга G_i [7], флуктуационная область в них достаточно широка (порядка градусов Кельвина) для того, чтобы впервые для сверхпроводников оказаться достижимой экспериментально. Результаты измерений флуктуационных поправок к теплоемкости неплохо согласуются с этими оценками [8].

Объяснению расщепления фазового перехода в сверхпроводящее состояние в $\text{YBa}_2\text{Cu}_3\text{O}_7$, обнаруженного в [5], была посвящена работа [9]. В ней показано, что в случае d -спаривания в тетрагональных системах орторомбическое слабое возмущение может привести к возникновению узкого температурного интервала, где фазовый переход расщепляется на два с образованием промежуточной фазы. В пользу возможности d -спаривания в $\text{YBa}_2\text{Cu}_3\text{O}_7$ свидетельствуют также эксперименты по измерению здесь найтовского сдвига на ионах Cu [10]. Приведенное в [9] объяснение расщепления перехода к сверхпроводимости тесно связано с его непрерывным характером в рамках теории среднего поля. В то же время в работе [6] было сообщено, что первый фазовый переход является скачкообразным. Причиной этого, как отмечено в работе [9], может быть взаимодействие сверхпроводящих флуктуаций с флуктуациями калибровочного электромагнитного поля [11]. В настоящей работе мы укажем на другую существенную возможность — флуктуационное индуцирование скачкообразного перехода за счет взаимодействия одних лишь сверхпроводящих флуктуаций между собой (причем в этом случае переход идет сразу в низкосимметричное состояние). Оба этих предсказания опираются на известную трактовку поведения флуктуирующей системы в тех случаях, когда уравнения РГ для нее не имеют устойчивых неподвижных точек (либо затравочные значения вершин функционала Гинзбурга—Ландау лежат вне области притяжения к устойчивой точке) [12, 13]. Предположение

о фазовом переходе первого рода в этом случае, строго говоря, является гипотезой. Поэтому оно требует верификации для каждой конкретной ситуации. Предпринятая в настоящей работе проверка результатов РГ-анализа для исследуемой задачи с помощью точно решаемой модели в этой связи представляет, как нам кажется, помимо прикладного, и теоретический интерес. Этот интерес подкрепляется также тем, что используемый здесь функционал Гинзбурга—Ландау неспецифичен исключительно для ВТСП керамики. Тот же функционал возникает, например, при анализе структурного перехода в несоизмеримую фазу в BaMnF_3 [14]. В этом веществе обнаружен [15] скачкообразный фазовый переход, который можно трактовать как флуктуационно-индуцированный фазовый переход первого рода, поскольку теория среднего поля предсказывает здесь появление фазового перехода второго рода.

1. РГ - а н а л и з

Функционал Гинзбурга—Ландау исследуемой системы имеет вид [16]

$$\mathcal{H} = \frac{1}{2} \int [\tau \eta \eta^* + \beta_1 (\eta \eta^*)^2 + \beta_2 |\eta|^2 + \beta_3 (|\eta_x|^4 + |\eta_y|^4)] dr. \quad (1)$$

Для того чтобы выписать уравнения РГ, описывающие эволюцию вершин функционала \mathcal{H} в критической области, представим явным образом двухкомпонентные векторы η_x и η_y в виде

$$\eta_x = \varphi_1 + i\varphi_2, \quad \eta_y = \varphi_3 + i\varphi_4. \quad (2)$$

В терминах переменных φ_i форма четвертого порядка \mathcal{H}_4 в функционале \mathcal{H} является некоторой формой четырехкомпонентного параметра порядка $\varphi = \{\varphi_i\}$, $i=1, 2, 3, 4$. Выбор трех базисных [инвариантов этой формы в известных пределах произволен. В частности, для получения и анализа уравнений РГ удобно скомпоновать переменные φ_i следующим образом:

$$\mathcal{H}_4 = \int \left[\frac{1}{2} (\beta_1 + \beta_2 + \beta_3) [(\varphi_1^2 + \varphi_2^2)^2 + (\varphi_3^2 + \varphi_4^2)^2] + \beta_1 (\varphi_1^2 + \varphi_2^2) (\varphi_3^2 + \varphi_4^2) + \beta_3 [(\varphi_1 \varphi_3 + \varphi_2 \varphi_4)^2 - (\varphi_1 \varphi_4 - \varphi_2 \varphi_3)^2] \right] dr \quad (3)$$

и выбрать в качестве инвариантных зарядов величины

$$u = 1/6 (\beta_1 + \beta_2 + \beta_3), \quad v = \beta_1/6, \quad \mu = \beta_2/6. \quad (4)$$

В однопетлевом приближении искомые уравнения имеют вид

$$\dot{u} = u - 5u^2 - \mu^2 - v^2, \quad \dot{v} = v - 4uv - 2v^2 - 4\mu^2, \quad \dot{\mu} = \mu [1 - 2u - 4v]. \quad (5)$$

Для описания критического поведения необходимо прежде всего найти неподвижные точки системы (5) и исследовать их на устойчивость. Из четырех точек: 1) $\mu = v = 0$, $u = 1/5$; 2) $\mu = 0$, $u = v = 1/6$; 3а) $\mu = 1/10$, $u = 1/10$, $v = 2/10$; 3б) $\mu = -1/10$, $u = 1/10$, $v = 2/10$ три (1, 3а, 3б) являются неустойчивыми, а одна, — соответствующая гейзенберговской $O(4)$ -симметрии функционала \mathcal{H}_4 , — имеет промежуточную устойчивость. Это является общим свойством систем с четырехкомпонентным параметром порядка [17]. Для выяснения вопроса об устойчивости гейзенберговской точки в таких системах необходимо исследовать уравнения РГ двухпетлевого приближения. Авторами работы [18] был выполнен общий симметричный анализ такого типа уравнений, из которого, в частности, следует, что для функционала \mathcal{H}_4 (3), имеющего ортоцилиндрическую симметрию $D_2 \times D_\infty$, в двухпетлевом приближении гейзенберговская точка расщепляется на неустойчивые точки. Мы будем учитывать этот результат при анализе фазового портрета системы (5), считая ниже точку «2» неустойчивой.

Для существования статической суммы с функционалом Гинзбурга—Ландау, имеющим форму четвертого порядка (3), необходимо, чтобы эта форма была положительно определенной. Можно показать, что это условие определяет следующие границы устойчивости:

$$2(\beta_1 + \beta_2) + \beta_3 = 0, \quad \beta_1 + \beta_2 + \beta_3 = 0, \quad 2\beta_1 + \beta_2 = 0.$$

Учитывая, что структура упорядоченной фазы определяется не самими вершинами β_i , а их отношениями, перепишем уравнения (5) для этих отношений

$$\frac{1}{u} \dot{x} = x(x-1)^2 + (x-4)y^2, \quad \frac{1}{u} \dot{y} = y[(x-1)(x-3) + y^2], \quad (6)$$

где $x = v/u$, $y = \mu/u$. Границы устойчивости в этих переменных имеют вид соответственно: $y = -(1+x)$; $x, y \rightarrow \infty$; $y = 1+x$. Двумерный характер плоскости (x, y) позволяет однозначно изобразить на ней фазовый портрет системы (6) (рис. 1). Очень важно указать на нем сепаратрисы — линии, разделяющие области ухода фазовых траекторий к различным границам устойчивости $y = \pm(1+x)$ и $x, y \rightarrow \infty$. Непо-

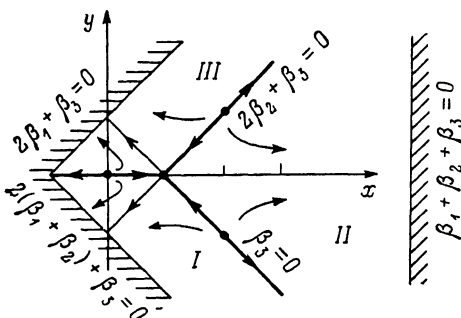


Рис. 1. Фазовый портрет системы уравнений ренормализационной группы (6).

Заштрихованы границы устойчивости (граница $\beta_1 + \beta_2 + \beta_3 = 0$, т. е. $x, y \rightarrow \infty$ показана условно). Сепаратрисы секторов I, II, III выделены жирными линиями.

средственной подстановкой можно убедиться, что прямые $y = \pm(x-1)$ являются особыми интегралами системы (6). Из рис. 1 видно, что они выполняют роль искомых сепаратрис. Для выяснения физического смысла этих прямых восстановим соответствующие им условия для вершин β_i : $2\beta_2 + \beta_3 = 0$ и $\beta_3 = 0$, а также проанализируем кратко границы раздела фаз для функционала (1) в рамках теории среднего поля.

Такой анализ был выполнен ранее в работе [9]. Для целей настоящего раздела следует ограничиться случаем $\Delta = (\tau_x - \tau_y)/2 = 0$ и переписать результаты работы [9] в терминах переменных φ_i . Имеем следующие три симметрично различные фазы и условия их реализации

- I. $\varphi_1 = \varphi_3, \varphi_2 = \varphi_4 = 0; \beta_3 \geq 0, \beta_2 \leq 0,$
- II. $\varphi_1 \neq 0, \varphi_{k \neq 1} = 0; \beta_3 \leq 0, 2\beta_2 + \beta_3 \leq 0,$
- III. $\varphi_1 = \varphi_4, \varphi_2 = \varphi_3 = 0; \beta_2 \geq 0, 2\beta_2 + \beta_3 \geq 0.$ (7)

Остальные эквивалентные структуры легко получить поворотами $(\varphi_1 \pm \varphi_2)/\sqrt{2} = \varphi_{1,2}$ и т. д. Соответствующие им области на рис. 1 обозначены как секторы I, II, III. Очевидно, что границы различных фаз в теории среднего поля и особые интегралы $2\beta_2 + \beta_3 = 0$ и $\beta_3 = 0$ совпадают.

Поскольку, согласно принятой идеологии метода РГ [12, 13], пересечение фазовыми траекториями границ устойчивости $y = -(1+x)$, $x, y \rightarrow \infty$ и $y = 1+x$ означает флуктуационное индуцирование скачкообразных фазовых переходов в структуры I, II и III соответственно, то эти структуры в результате оказываются теми же, что и предсказывались теорией Ландау. Единственное отличие состоит лишь в смене рода перехода со второго на первый. Это отличие, однако, достаточно существенно при включении слабого орторомбического искажения решетки

$$\Delta \mathcal{K} = \frac{1}{2} \Delta \int dr [|\eta_x|^2 - |\eta_y|^2] = \frac{1}{2} \Delta \int dr [(\varphi_1^2 + \varphi_2^2) - (\varphi_3^2 + \varphi_4^2)]. \quad (8)$$

Действительно, как было показано в работах [19, 20], слабая квадратичная анизотропия типа (8) складывается на характере перехода пороговым образом. Т. е. вплоть до некоторого конечного Δ_{\min} фазовый переход остается скачкообразным. При $\Delta = \Delta_{\min}$ на фазовой диаграмме возникает трикритическая точка, а при $\Delta > \Delta_{\min}$ переход становится непрерывным и качественно удовлетворительно описывается теорией среднего поля.

В заключение раздела заметим, что при фазовом переходе первого рода система сразу попадает непосредственно в низкотемпературные фазы I или III (при подходящих β_i). Так что если Δ достаточно мало, то для перехода в эти фазы нет необходимости в промежуточном состоянии типа II, как это имеет место в теории среднего поля. К сожалению, метод РГ не позволяет корректно оценить величину Δ_{\min} . Кроме того, предположение о скачкообразном переходе при пересечении границ устойчивости само по себе является гипотезой, требующей, строго говоря, верификации в каждом конкретном случае с помощью расчета свободной энергии. Последнее можно сделать с помощью специальным образом организованной модели, частично сохраняющей учет влияния флуктуаций. Этот расчет выполнен в следующем разделе.

2. Исследование модели

Для формулировки точно решаемой модели удобно несколько изменить структуру инвариантов, составленных из компонент φ_i в функционале \mathcal{H}_4 , а именно заметим, что

$$|\eta|^2 = (\eta\eta^*)^2 - [2(\varphi_1\varphi_4 - \varphi_2\varphi_3)]^2. \quad (9)$$

Объединяя первое слагаемое в (9) с аналогичным членом в (3), получим новую вершину $\beta = \beta_2 + \beta_3$, а второе слагаемое в (9) будем рассматривать в качестве нового базисного инварианта \mathcal{H}_4 . Очевидно, что \mathcal{H}_4 образует теперь сумму квадратов величин $(\eta\eta^*)$, $|\eta_x|^2$, $|\eta_y|^2$ и $2(\varphi_1\varphi_4 - \varphi_2\varphi_3)$ с соответствующими коэффициентами $(\beta/2; \beta_2, \beta_3/2)$. Сущность модели состоит в замене интегралов типа $\int dr A^2$ на $(\int dr A)^2/V$, эквивалентной сохранению взаимодействия флуктуаций с попарно равными волновыми векторами [21-23]. Функционалы типа $a = \int dr A$ являются квадратичными относительно полей φ_i .

Использование преобразования Стратоновича—Хаббарда

$$\exp\left(-\frac{\beta}{2} a^2\right) = \int_{-\infty}^{\infty} da \exp\left[\frac{a^2}{2\beta} - aa\right] \int_{-\infty}^{\infty} da \exp\left[\frac{a^2}{2\beta}\right] \quad (10)$$

позволяет линейризовать показатель экспоненты в статической сумме

$$Z = \int D\varphi_i \exp[-\mathcal{H}[\varphi_i]]$$

относительно этих квадратичных функционалов и проинтегрировать Z по φ_i явно.

Будем для переменных интегрирования в формуле (10) при $a = (\eta\eta^*)$, $a = |\eta_{x,y}|^2$ и $a = 2(\varphi_1\varphi_4 - \varphi_2\varphi_3)$ использовать обозначения соответственно α , $\rho_{x,y}$ и ξ . Интересующая нас квадратичная по φ_i форма в Z имеет вид

$$R = (\tau_x + \alpha + \rho_x) \varphi_1^2 + 2\xi\varphi_1\varphi_4 + (\tau_y + \alpha + \rho_y) \varphi_2^2 + \\ + (\tau_x + \alpha + \rho_x) \varphi_3^2 - 2\xi\varphi_2\varphi_3 + (\tau_y + \alpha + \rho_y) \varphi_3^2 = \varphi^+ A \varphi,$$

где $\varphi^+ = (\varphi_1, \varphi_4, \varphi_2, \varphi_3)$. Для интегрирования по φ_i форму удобно диагонализировать. Поскольку матрица A является квазидиагональной с двумя одинаковыми (с точностью до знака недиагональных элементов) блоками,

то она имеет пару дваждывырожденных собственных значений λ^+ и λ^- , так что квадратичная форма R после диагонализации примет вид

$$R = \sum_{+, -} \lambda^{\pm} [(\chi_1^{\pm})^2 + (\chi_2^{\pm})^2],$$

где

$$\lambda^{\pm} = \alpha + \tau + \frac{\rho_x + \rho_y}{2} \pm \sqrt{\left(\Delta + \frac{\rho_x - \rho_y}{2}\right)^2 + \xi^2}, \quad (11)$$

$$\tau = (\tau_x + \tau_y)/2, \quad \Delta = (\tau_x - \tau_y)/2.$$

Величины $\chi_{1, 2}^{\pm}$ удобно объединить в два двухкомпонентных вектора $\chi^{\pm} = (\chi_1^{\pm}, \chi_2^{\pm})$, после чего форма R записывается в виде

$$R = \sum_{+, -} \lambda^{\pm} (\chi^{\pm})^2.$$

Интегрирование по χ^{\pm} проводится элементарно. В результате для Z имеем представление

$$Z \sim \int d\chi_0^{\pm} \int da d\rho_x d\rho_y d\xi \times$$

$$\times \exp \left\{ -V \left[-\frac{\alpha^2}{2\beta} - \frac{\rho_x^2 + \rho_y^2}{2\beta_2} + \frac{\xi^2}{2\beta_2} + 2 \sum_{+, -} (\Phi^{\pm} + \lambda^{\pm} (\chi_0^{\pm})^2) \right] \right\}. \quad (12)$$

Здесь

$$\Phi^{\pm} = V^{-1} \sum_q \ln(\lambda^{\pm} + q^2) = -(\lambda^{\pm})^{1/2} \Theta(\lambda^{\pm})/6\pi,$$

$\Theta(\lambda^{\pm})$ — функция Хэвисайда. В формуле (12) оставлены недоинтегрированными переменные $\chi_0^{\pm} \equiv \chi_{q=0}^{\pm} / \sqrt{V}$, которые могут становиться неэргодическими в окрестности точек фазовых переходов [21-23] и играть роль параметров порядка в свободной энергии $\mathcal{F} = -\ln Z$. При этом они определяются как решения уравнений состояния $\partial\mathcal{F}/\partial\chi_0^{\pm} = 0$. В термодинамическом пределе $V \rightarrow \infty$ интегралы в (12) вычисляются точно методом перевала. Система уравнений для седловых точек (включая, естественно, уравнения состояния) имеет вид

$$\frac{1}{V} \partial\mathcal{F}/\partial\chi_0^{\pm} = 2\chi_0^{\pm}\lambda^{\pm} = 0;$$

$$\frac{1}{V} \partial\mathcal{F}/\partial\alpha = -\alpha/\beta + \sum_{+, -} ((\chi_0^{\pm})^2 - 2f^{\pm}) = 0;$$

$$\frac{1}{V} \partial\mathcal{F}/\partial\rho_{x, y} = -\rho_{x, y}/\beta_2 + \sum_{+, -} ((\chi_0^{\pm})^2 - 2f^{\pm}) \frac{\partial\lambda^{\pm}}{\partial\rho_{x, y}} = 0,$$

$$\frac{1}{V} \partial\mathcal{F}/\partial\xi = \xi/\beta_2 + \sum_{+, -} ((\chi_0^{\pm})^2 - 2f^{\pm}) \partial\lambda^{\pm}/\partial\xi = 0, \quad (13)$$

где

$$f^{\pm} = \partial\Phi^{\pm}/\partial\lambda^{\pm} = -\sqrt{\lambda^{\pm}} \Theta(\lambda^{\pm})/4\pi.$$

Непосредственное дифференцирование дает

$$\frac{\partial\lambda^{\pm}}{\partial\rho_x} = \frac{\partial\lambda^{\mp}}{\partial\rho_y} = \frac{1}{2} \left[1 \pm \frac{2\Delta + \rho_x - \rho_y}{\lambda^+ - \lambda^-} \right], \quad \frac{\partial\lambda^{\pm}}{\partial\xi} = \frac{\pm 2\xi}{\lambda^+ - \lambda^-}.$$

Для аналитического решения удобно переписать систему (13) несколько компактнее

$$\chi_0^{\pm}\lambda^{\pm} = 0,$$

$$(\rho_x + \rho_y)/\beta_2 = \alpha/\beta = \sum,$$

$$(\rho_x - \rho_y)/\beta_3 = \frac{2\Delta + (\rho_x - \rho_y)}{\lambda^+ - \lambda^-} D,$$

$$\xi \left[\frac{1}{\beta_2} + \frac{2D}{\lambda^+ - \lambda^-} \right] = 0, \quad (14)$$

где введены обозначения

$$\Sigma = \sum_{\pm} [(\chi_0^\pm)^2 - 2f^\pm], \quad D = [(\chi_0^+)^2 - f^+] - [(\chi_0^-)^2 - 2f^-].$$

Из (13) непосредственно видно, что существуют два вида решений: 1) $\chi_0^\pm \neq 0, \lambda^\pm = 0$; 2) $\chi_0^+ = 0, \chi_0^- \neq 0$ при $\lambda^+ \neq 0, \lambda^- = 0$ (и наоборот: «+» \leftrightarrow «-»). Кроме того, каждый из них имеет две ветви, определенные выбором $\xi = 0$ или $\xi \neq 0$.

Расчеты искомых величин на каждой из этих ветвей опираются на элементарную, но громоздкую алгебру. Приведем лишь окончательные выражения:

$$1a. \chi_0^\pm \neq 0, \lambda^\pm = 0, \xi = 0$$

$$\frac{1}{2} (\chi_0^\pm)^2 = -\frac{\tau}{\beta + \beta_3} \pm \frac{\Delta}{\beta_3}, \quad (15)$$

$$\mathcal{F}_{Ia} = -\frac{1}{4} \left[\frac{\tau^2 (2\beta + \beta_3)}{(\beta + \beta_3)^2} + \frac{\Delta^2}{\beta_3} \right], \quad (16)$$

$$16. \chi_0^\pm \neq 0, \lambda^\pm = 0, \xi \neq 0$$

$$(\chi_0^\pm)^2 = -\tau \frac{\beta + \beta_3}{\beta (2\beta + \beta_3)}, \quad (17)$$

$$\mathcal{F}_{Ib} = -\frac{1}{4} \left[\frac{\tau^2}{2\beta + \beta_3} + \frac{\Delta^2}{2\beta_2 + \beta_3} \right], \quad (18)$$

$$2a. \chi_0^+ = 0, \chi_0^- \neq 0, \lambda^+ \neq 0, \lambda^- = 0, \xi = 0$$

$$\sqrt{\lambda_{1,2}^+} = \sqrt{\lambda_c^+} \left[1 \pm \sqrt{\left(1 + \frac{(2\beta + \beta_3)\Delta}{(\beta + \beta_3)\lambda_c^+} \right) \left(1 - \frac{\tau}{\tau_c} \right)} \right], \quad (19)$$

$$\sqrt{\lambda_c^+} = \frac{\beta_3 (2\beta + \beta_3)}{4\pi (\beta + \beta_3)}, \quad \tau_c = \left[\frac{2\beta + \beta_3}{\beta + \beta_3} \Delta + \lambda_c^+ \right] \frac{(\beta + \beta_3)}{(-\beta_3)}, \quad (20)$$

$$(\chi_{1,2}^+)^2 = -\frac{1}{\beta + \beta_3} \left[\tau - \Delta + \frac{\beta \sqrt{\lambda_{1,2}^+}}{2\pi} \right], \quad (21)$$

$$\mathcal{F}_{Ia} = -\frac{1}{4} \left[\frac{(\lambda^+ - 2\tau)^2}{2\beta + \beta_3} + \frac{(\lambda^+ - 2\Delta)^2}{\beta_3} \right] + 2\Phi^+, \quad (22)$$

$$26. \chi_0^+ = 0, \chi_0^- \neq 0, \lambda^+ \neq 0, \lambda^- = 0, \xi \neq 0$$

$$\sqrt{\lambda_{1,2}^+} = \sqrt{\lambda_c^+} \left[1 \pm \sqrt{1 - \tau/\tau_c} \right], \quad (23)$$

$$\sqrt{\lambda_c^+} = -\frac{\beta_2 (2\beta + \beta_3)}{\pi (2\beta_1 + \beta_3)}, \quad \tau_c = \frac{2\beta_1 + \beta_2}{4\beta_2} \lambda_c^+, \quad (24)$$

$$(\chi_{1,2}^+)^2 = \frac{\sqrt{\lambda_{1,2}^+}}{2\pi\beta_2} [\pi \sqrt{\lambda_{1,2}^+} + \beta_2], \quad (25)$$

$$\mathcal{F}_{III} = -\frac{1}{4} \left[\frac{(\lambda^+ - 2\tau)^2}{2\beta + \beta_3} - \frac{(\lambda^+)^2}{2\beta_2} + \frac{(2\Delta)^2}{2\beta_2 + \beta_3} \right] + 2\Phi^+. \quad (26)$$

Легко видеть, что первая пара решений (15)–(18) описывает фазовый переход второго рода при $\tau = 0$ (или $\tau \sim 0$ (Δ)). Что же касается второй пары решений, то они возникают при некотором τ_c таким образом, что у свободной энергии \mathcal{F}_{II} (или \mathcal{F}_{III}) появляется точка перегиба, соответствующая $\sqrt{\lambda_{1,2}^+} = \sqrt{\lambda_c^+}$; с последующим расщеплением ее на пару экстремумов (определяемых величинами $\sqrt{\lambda_1^+}$ и $\sqrt{\lambda_2^+}$) в точках $\chi_{1,2}^+$. Иными сло-

вами, структура \mathcal{F}_{II} и \mathcal{F}_{III} характерна для фазовых переходов первого рода.

Нашей ближайшей целью будет сравнение результатов, полученных из модели и РГ-анализа. Для этого достаточно ограничиться пределом $\Delta=0$ и рассмотреть вначале лишь вторую пару решений (19)–(26). Заметим, что упорядочению типа $\chi_0^+=0$, $\chi_0^- \neq 0$ при $\xi=0$ соответствует структура II (см. (7)) $\varphi_1 \neq 0$, $\varphi_{k \neq 1} = 0$, тогда как при $\xi \neq 0$ (а именно $\xi = \sqrt{\lambda^+}/2$) этому упорядочению соответствует структура III, где $\varphi_1 = \varphi_4$, $\varphi_2 = \varphi_3 = 0$. Согласно неравенствам (7), в теории среднего поля эти структуры выгодны энергетически соответственно в секторах II и III (рис. 1). Покажем, что то же имеет место и в модели. Для этого воспользуемся тем, что при $\Delta=0$ функционал Гинзбурга–Ландау имеет дополнительную симметрию относительно одновременной замены вершин $(-\beta_3) \leftrightarrow 2\beta_2$ и поворотов

$$\frac{\varphi_1 \pm \varphi_4}{\sqrt{2}} = \psi_{1,4}, \quad \frac{\varphi_2 \pm \varphi_3}{\sqrt{2}} = \psi_{2,3}. \quad (27)$$

Повороты (27) переводят друг в друга структуры II и III, тогда как замена $(-\beta_3) \leftrightarrow 2\beta_2$ инверсирует секторы II и III относительно линии их раздела $2\beta_2 + \beta_3 = 0$.

Можно убедиться, что решения (19)–(22) и (23)–(26) удовлетворяют указанной симметрии при $\Delta=0$ и переходят друг в друга при соответствующих преобразованиях. Таким образом, достаточно проанализировать одно (любое) из них и сделать заключение о его выгодности исходя из знака неравенства $2\beta_2 + \beta_3 \leq 0$.

Минимум свободной энергии располагается в точке χ^- , задаваемой решением $\sqrt{\lambda_1^+} = \sqrt{\lambda_c^+} [1 + \sqrt{1 - \tau/\tau_c}]$. Впервые он возникает (как точка перегиба) на перегретой спинодали при $\tau = \tau_c$ и соответственно

$$(\chi_c^-)_{II} = \sqrt{2\beta_2 + \beta_3} \frac{\beta_3}{4\pi(\beta_2 + \beta_3)} \quad (II \leftrightarrow III \text{ при } (-\beta_3) \leftrightarrow 2\beta_2). \quad (28)$$

От начала координат ($\chi_0^- = 0$) он отделен барьером, положение которого χ_2^- определяется вторым корнем $\sqrt{\lambda_2^+}$. Этот барьер исчезает на спинодали переохлаждения, когда χ_2^- обращается в нуль при температуре такой, что

$$\tau_{крII} = -\beta_3/(2\pi)^2 \quad (II \leftrightarrow III). \quad (29)$$

Скачок параметра порядка $\chi_{кр}^-$ при этом равен

$$(\chi_{кр}^-)_{II} = -\beta_3 \sqrt{\beta_2}/2\pi(\beta_2 + \beta_3) \quad (II \leftrightarrow III). \quad (30)$$

Пусть для определенности $2\beta_2 + \beta_3 > 0$. Используя описанное выше свойство симметрии, нетрудно убедиться, что при этом нетривиальное решение III возникает раньше (т. е. $\tau_{cIII} > \tau_{cII}$ при обоих $\tau_c > 0$) и достигает спинодали переохлаждения при более высокой $\tau_{кр}$ ($\tau_{крIII} > \tau_{крII}$ при $\tau_{кр} > 0$). Причем, когда система находится между спинодалями перегрева и переохлаждения, минимум \mathcal{F}_{III} лежит ниже, чем минимум \mathcal{F}_{II} . Иначе говоря, в рамках модели фазы II и III оказываются выгодными в тех же секторах, что и в теории среднего поля или в РГ. Поскольку при $\beta_2 > 0$ и $\beta_3 < 0$ обе $\tau_{кр} > 0$, то переход в любую из этих структур происходит во всяком случае при $\tau > 0$, так что решения «1а» и «1б» для модели не могут составить здесь конкуренции только что исследованным решениям «2а» и «2б».

Если же оба неравенства обратны (т. е. $\beta_2 < 0$ и $\beta_3 > 0$, так что параметры β_i лежат в секторе I на рис. 1), то не только обе $\tau_{кр} < 0$, но и сами решения для $\sqrt{\lambda_{1,2}^+}$ и $\chi_{1,2}^-$ оказываются лишены физического смысла (по крайней мере при $\tau \rightarrow +\infty$). Единственно приемлемы в этом случае оказывается решение с фазовым переходом 2-го рода. Для определения областей параметров β_i , в которых «работают» ветви решения «1а» или «1б»,

сравним свободные энергии $\mathcal{F}_{1a}(1)$ и $\mathcal{F}_{1b}(18)$. Интересно отметить при этом, что, хотя при $\Delta \rightarrow 0$ величина $\xi \neq 0$, на второй ветви ($\xi \sim \Delta$) также стремится к нулю. Формально это похоже на подход к решению к ветви «1а». Однако при $\Delta = +0$ энергии \mathcal{F}_{1a} , \mathcal{F}_{1b} отличаются на конечную величину, так что

$$\left| \frac{\mathcal{F}_{1a}}{\mathcal{F}_{1b}} \right| = \left(\frac{2\beta + \beta_3}{\beta + \beta_3} \right)^2.$$

Имеем в результате, что при $\beta > 0$ (т. е. $\beta_1 > -\beta_2$ или $x > -y$ на рис. 1) реализуется решение «1а», а в противном случае решение «1б».

Вернемся снова к более общей ситуации с $\Delta \neq 0$. Проще всего это сделать для двух первых ветвей решения. Поскольку в секторе I имеют место неравенства $\beta_2 < 0$, $\beta_3 > 0$, то, как видно из формул (16) и (18), наличие $\Delta^2 > 0$ улучшает условия реализации ветви «1а» за счет «1б». С другой стороны, на ветви «1а» обе величины $(\chi_0^\pm)^2$ отличны от нуля одновременно (а это необходимо здесь) только начиная с $\tau = -(\beta + \beta_3) |\Delta| / \beta_3 < 0$, тогда как нетривиальное решение «1б» возникает при $\tau = 0$. Это позволяет так подобрать параметры Δ и β_i , чтобы вначале при $\tau = 0$ возникала структура с одинаковыми χ_0^+ и χ_0^- , а затем происходило их расщепление с переходом в энергетически более выгодную фазу $\chi_0^+ \neq \chi_0^-$. Противоречие с результатами метода РГ в этом секторе, однако, указывает на то, что скорее всего описанный процесс является специфическим свойством модели, имеющей все-таки несколько условную природу.

Более убедительными выглядят результаты для секторов II и III (рис. 1), где выводы РГ и модели совпадают. При $\Delta \neq 0$ отмеченная выше симметрия между решениями «2а» и «2б» исчезает. Рассмотрим поэтому вначале случай «2а». Если $\Delta \geq \lambda_c^+$, то, согласно (20), величина τ_c стремится к $\tau_c = (2\beta + \beta_3)\Delta / (-\beta_3)$. При этом из (21) следует, что

$$(\chi_c^-)^2 \rightarrow -\frac{1}{\beta + \beta_3} [\tau_c - \Delta] = \frac{2\Delta}{\beta_3} < 0.$$

Т. е. при любом соотношении параметров β_i в секторе II найдется такое Δ_{\min} , при котором точка перегиба свободной энергии будет возникать сразу при $(\chi^-)^2 = 0$. Для $\Delta > \Delta_{\min}$ фазовый переход в состояние с $\varphi_{k \neq 1} = 0$, $\varphi_1 \neq 0$ будет уже фазовым переходом 2-го рода. Обратимся теперь к случаю «2б». Формулы (23)–(25) не содержат параметра Δ , и на первый взгляд различие τ_x и τ_y никак не сказывается на этой ветви решения. Это, однако, не так. При $\Delta \neq 0$ величина $\xi \neq 0$ определяется соотношением

$$\xi^2 = \left(\frac{\lambda^+}{2} \right)^2 - \Delta^2 \left(\frac{2\beta_2}{2\beta_2 + \beta_3} \right)^2,$$

и при достаточно большом Δ она становится мнимой. Напомним теперь, что поля χ^\pm возникли после диагонализации квадратичной формы, состоящей из полей φ_i с собственными значениями (11). Матрица этого преобразования квазидиагональная и содержит два одинаковых с точностью до замены $\xi \rightarrow -\xi$ блока вида

$$\hat{S} = \frac{1}{\sqrt{2} B^{1/2} (1+B)^{1/2}} \begin{pmatrix} 1+B & -P \\ P & 1+B \end{pmatrix}, \quad \det \hat{S} = 1,$$

где

$$P = \pm 2\xi / (\Delta + (\rho_x - \rho_y)/2), \quad B = \sqrt{1 + P^2}.$$

Возвращаясь к нашей конкретной ситуации, когда отлично от нуля лишь поле χ_0^- , получаем поля φ_1 и φ_4 в виде $\varphi_1 \sim \xi \chi_0^-$, $\varphi_4 \sim \chi_0^-$. Если величина ξ мнимая, то одна из переменных φ_i также окажется мнимой. Однако при построении функционала (3) все φ_i предполагались вещественными. Таким образом, при достаточно большом Δ решение с $\xi \neq 0$ и $\chi_0^+ = 0$ становится некорректным. В то же время при $\Delta = (2\beta_2 + \beta_3)\lambda^+ / 4\beta_2$ величина ξ , прежде чем стать мнимой, обращается в нуль, так что существует возможность перехода на ветвь решения с $\xi = 0$, $\varphi_i \neq 0$, $\varphi_{j \neq i} = 0$. Это решение,

как уже отмечалось, дает плавное вырождение скачкообразного перехода в непрерывный.

Последние предсказания модели хорошо стыкуются как со следствиями РГ-анализа, так и с выводами работы [9]. Во-первых, флуктуационно-индуцированный фазовый переход первого рода имеет место вплоть до некоторого порогового Δ_{\min} . Во-вторых, если низкотемпературной фазой является структура $\eta=(1, 0)$, то при $\Delta=\Delta_{\min}$ этот переход плавно сменяется непрерывным переходом в ту же фазу. Если же низкосимметричная структура описывается параметром порядка типа $\eta=(1, i)$, то непосредственный переход в нее возможен лишь как скачкообразный. При больших Δ , когда флуктуации одного из полей $\eta_{x, y}$ сильно подавлены, этот переход должен расщепиться на два, как это предсказывает теория среднего поля.

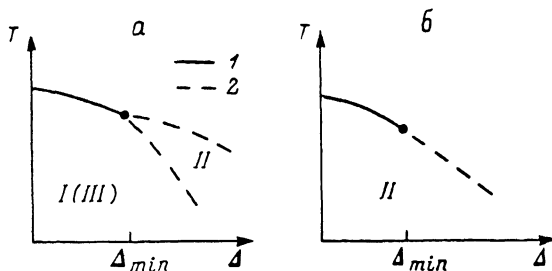


Рис. 2. Возможные виды фазовых диаграмм.

а — для низкотемпературных фаз типа I или III, б — для фазы типа II. 1, 2 — линии фазовых переходов 1-го и 2-го рода соответственно.

Суммируя результаты всех трех подходов (РГ, модели и среднего поля), картину фазового перехода к сверхпроводимости в системах с d -спариванием и слабой орторомбичностью можно представить фазовыми диаграммами (рис. 2).

В заключение отметим, что недавно нам стала известной работа [24], в которой уравнения РГ получены для функционала (1) с учетом анизотропии квадратичной по градиентам части

$$\delta \mathcal{H} = \gamma \int d^d k k_x k_y (\eta_x \eta_y^* + \eta_y \eta_x^*).$$

При этом к уравнениям (5) возникают добавки вида

$$\delta \dot{u} = -2u(\mu + 2\nu)\delta, \quad \delta \dot{v} = -2(\nu^2 + 2\mu\nu + 2u^2)\delta, \quad \delta \dot{\mu} = -(u^2 + \nu^2 + 5\mu^2)\delta,$$

где параметр δ пропорционален анизотропии γ^2 . Появление этих добавок не приводит, однако, к существенной трансформации фазового портрета. В частности, можно проверить, что сепаратриса секторов II и III ($2\beta_2 + \beta_3 = 0$) остается той же и для усложненных уравнений РГ. В результате качественные предсказания, сделанные выше, сохраняют свою силу.

Список литературы

- [1] Wu M. K., Ashburn J. R. et al. // Phys. Rev. Lett. 1987. V. 58. N 9. P. 908—910.
- [2] Tsurumi S., Hikita M. et al. // Jap. J. Appl. Phys. 1987. V. 26. N 5. P. L856—L857.
- [3] Jorgensen J. D., Beno M.A. et al. // Phys. Rev. B. 1987. V. 36. N 7. P. 3608—3616.
- [4] Сухаревский Б. Я., Шаталова Г. Е. и др. // ФНТ. 1987. Т. 13. № 9. С. 992—995.
- [5] Inderhees S. E., Salamon M. B. et al. // Phys. Rev. Lett. 1988. V. 60. N 11. P. 1170—1172.
- [6] Butera R. A. // Phys. Rev. B. 1988. V. 37. N 9. P. 5909.
- [7] Lobb S. J. // Phys. Rev. B. 1987. V. 36. N 7. P. 3930—3932.
- [8] Salamon M. B., Inderhees S. E. // Phys. Rev. B. 1988. V. 38. N 1. P. 885—888.
- [9] Воловик Г. Е. // Письма в ЖЭТФ. 1988. Т. 48. № 1. С. 39—42.
- [10] Takigawa M., Hammel P. C., Heffner R. H., Fisk Z. // Preprint, Los Alamos Nat. Lab., 1988.
- [11] Halperin B. I., Lubensky T. C., Ma S.-K. // Phys. Rev. Lett. 1974. V. 32. N 6. P. 292—295.

- [12] Бразовский С. А., Дзялошинский И. Е. // Письма в ЖЭТФ. 1975. Т. 21. № 6. С. 360—364.
- [13] Bak P., Krinsky S., Mukamel D. // Phys. Rev. Lett. 1976. V. 36. N 1. P. 52—55.
- [14] Dvorak V., Fousek J. // Phys. St. Sol. (a). V. 61. N 1. P. 99—105.
- [15] Pisarev R. V., Krichevtzov B. B., Markovin P. A. et al. // Phys. Rev. B. 1983. V. 28. P. 2677—2685.
- [16] Воловик Г. Е., Горьков Л. П. // ЖЭТФ. 1985. Т. 88. № 4. С. 1412—1428.
- [17] Brezin E., Le Gullou J. C., Zinn Justin J. // Phys. Rev. B. 1974. V. 10. N 3. P. 892—900.
- [18] Toledano J. C., Michel L., Toledano P., Bresin E. // Phys. Rev. B. 1985. V. 31. N 11. P. 7171—7196.
- [19] Kerszberg M., Mukamel D. // Phys. Rev. Lett. 1979. V. 43. N 4. P. 293—296.
- [20] Blankschtein D., Mukamel D. // Phys. Rev. B. 1982. V. 25. N 11. P. 6939—6951.
- [21] Ivanchenko Yu. M., Lisyanskii A. A., Filippov A. E. // Phys. Lett. A. 1986. V. 119. N 2. P. 55—59.
- [22] Иванченко Ю. М., Лисянский А. А., Филиппов А. Э. // ТМФ. 1987. Т. 71. № 3. С. 441—450.
- [23] Иванченко Ю. М., Лисянский А. А., Филиппов А. Э. // ТМФ. 1987. Т. 72. № 1. С. 149—154.
- [24] Голуб А. А., Маштаков О. Ю. // I Всес. совещ. по ВТСП. Харьков, 1988. Т. 1. С. 62—63.

Донецкий физико-технический
институт АН УССР
Донецк

Поступило в Редакцию
30 января 1989 г.
В окончательной редакции
23 мая 1989 г.